

<sup>1,2</sup> **О. Л. Андреева**<sup>1,3</sup> **А. О. Костиков**, д-р техн. наук<sup>2,3</sup> **В. И. Ткаченко**, д-р физ.-мат. наук<sup>1</sup> Институт проблем машиностроения  
им. А. Н. Подгорного НАН Украины,  
г. Харьков,  
e-mail: andreevaoksana@kipt.kharkov.ua,

e-mail: kostikov@ipmach.kharkov.ua

<sup>2</sup> Национальный научный центр  
«Харьковский физико-технический институт»  
НАН Украины,<sup>3</sup> Харьковский национальный университет  
имени В. Н. Каразина

e-mail: tkachenko@kipt.kharkov.ua

УДК 632.5

**АНАЛИТИЧЕСКИЕ РЕШЕНИЯ И  
НЕЙТРАЛЬНЫЕ КРИВЫЕ  
СТАЦИОНАРНЫХ ЛИНЕЙНЫХ  
ЗАДАЧ РЭЛЕЯ ДЛЯ  
ЦИЛИНДРИЧЕСКИХ  
КОНВЕКТИВНЫХ ЯЧЕЕК С  
ТВЕРДЫМИ И СМЕШАННЫМИ  
ГРАНИЧНЫМИ УСЛОВИЯМИ**

*Отримано аналітичний розв'язок стаціонарної лінійної задачі Релея для конвективної комірки в циліндричній геометрії з твердими граничними умовами. На його основі побудовано аналітичні вирази для нейтральних кривих у випадку твердих і змішаних граничних умов. Показано, що нейтральні криві з достатнім ступенем точності відповідають чисельним розрахункам, отриманим іншими авторами.*

**Ключові слова:** стаціонарна лінійна задача Релея, циліндрична геометрія, тверді або змішані граничні умови, аналітичний розв'язок, нейтральні криві.

**Введение**

Тепловая конвекция широко распространена в природе [1, 2]. Эти процессы также используются во многих промышленных технологиях [3]. В частности, конвективный теплообмен – в тепличном производстве сельскохозяйственной продукции [4]. Он также широко применяется в процессах выращивания кристаллов для микроэлектроники [5]. Явление формирования конвективных структур находит применение при лазерной обработке материалов [6].

Для описания процессов конвекции в слоях вязкой несжимаемой подогреваемой снизу жидкости используются уравнения Навье–Стокса в приближении Буссинеска (НСПБ). При этом различают три типа задач конвекции, в зависимости от вида граничных условий: в задачах со «свободными» условиями отсутствуют касательные напряжения на границах слоя жидкости, что соответствует ее свободной поверхности; «твердые» условия описывают поверхность жидкости, контактирующую с твердой стенкой, и предполагают равенство нулю вертикальной компоненты скорости и ее градиента; в задачах со «смешанными» условиями присутствует комбинация свободных и твердых границ [1, 7–9].

Решения стационарных линеаризованных уравнений НСПБ с несвободными граничными условиями для возмущений скорости и температуры, в отличие от свободных граничных условий, не получены в аналитическом виде и поэтому ищутся с помощью численных методов [6, 8].

В связи с вышеизложенным задача поиска аналитических решений стационарных линеаризованных уравнений НСПБ с несвободными граничными условиями является актуальной.

**Теория тепломассопереноса в цилиндрической ячейке с твердыми граничными условиями**

В [1] представлены результаты исследования в декартовой системе координат тепловой конвекции в горизонтальном, бесконечном в направлениях  $x$  и  $y$  слое толщиной  $h$  вязкой жидкости с твердыми граничными условиями. В этой задаче ось  $z$  направлена вверх перпендикулярно к границам слоя  $z = 0$  и  $z = h$ . Распределение температуры внутри слоя  $T_0(z)$  задано таким образом, что температура нижней границы была выше температуры верхней:  $T_0(0) = T_2$ ,  $T_0(h) = T_1$ , ( $T_2 > T_1$ ). Для простоты расчетов в [1] предполагается, что в состоянии равновесия зависимость температуры слоя от координаты  $z$  описывается линейной функцией с градиентом

$$\nabla T_0(z) = -\frac{\Theta}{h} \bar{e}_z, \quad (1)$$

где  $\Theta = T_2 - T_1$  – разность температур, поддерживаемых на нижней и верхней границах;  $\vec{e}_z$  – единичный вектор, направленный вдоль соответствующей оси.

Ниже рассмотрим задачу о тепловой конвекции в слое вязкой, несжимаемой, подогреваемой снизу жидкости в цилиндрической геометрии. Выбор такой геометрии основан на следующих фактах.

Из экспериментальных данных, полученных в работе [10], можно сформулировать такие выводы:

- конвективные ячейки в момент возникновения имеют цилиндрическую форму;
- внутренняя структура конвективных потоков в ячейках не зависит от азимутального угла  $\varphi$ .

На основании этих выводов будем искать решения линеаризованных уравнений Навье–Стокса [7] в цилиндрической геометрии при условии отсутствия в решениях зависимости от азимутального угла. В данном случае в слое с плоскими границами исходные уравнения для возмущений вертикальной скорости  $v_z$  и температуры  $T$  имеют вид

$$\frac{\partial}{\partial t} \Delta v_z = \Delta \Delta v_z + R \Delta_{\perp} T, \quad (2)$$

$$P \frac{\partial T}{\partial t} = \Delta T + v_z, \quad (3)$$

где  $\Delta = \Delta_{\perp} + \frac{\partial^2}{\partial z^2}$  – оператор Лапласа;  $\Delta_{\perp} = \frac{1}{r} \frac{\partial}{\partial r} \left( r \frac{\partial}{\partial r} \right)$  – поперечный лапласиан, в котором на основании осевой симметрии конвективной ячейки отсутствует слагаемое, характеризующее зависимость возмущений от азимутального угла, т. е. полагаем везде  $\partial \dots / \partial \varphi = 0$ ;  $R = g \beta h^3 \Theta / (\nu \chi)$  – число Рэлея;  $g$  – ускорение свободного падения, направленное против оси  $z$ ;  $P = \nu / \chi$  – число Прандтля;  $\nu$  и  $\chi$  – коэффициенты кинематической вязкости и температуропроводности жидкости соответственно;  $\beta$  – коэффициент объемного температурного расширения жидкости;  $v_z, T$  – возмущения вертикальной скорости и температуры соответственно.

При приведении системы уравнений (2)–(3) к безразмерному виду использованы следующие характерные единицы измерения: длины – толщина слоя  $h$ ; времени –  $\tau = h^2 \nu^{-1}$ ; температуры –  $\Theta$ . Следует отметить, что для выбранной единицы длины безразмерная координата  $z$  изменяется в интервале  $0 \leq z \leq 1$ .

Система уравнений (2)–(3) применима для определения так называемых «нормальных» [7] возмущений в вязком подогреваемом снизу слое жидкости при условии, что она должна быть дополнена граничными условиями.

В настоящей работе рассмотрим твердые граничные условия, когда на границах при  $z = 0$  и  $z = 1$ , отсутствуют возмущения скорости и температуры, и производная вертикальной компоненты скорости по координате равна нулю [1, 7]

$$v_r = v_z = 0; \quad T = 0; \quad \frac{\partial v_z}{\partial z} = 0. \quad (4)$$

### Получение аналитического решения

Решения линеаризованной системы НСПБ, которые описывают временную динамику возмущений вертикальной компоненты скорости и температуры цилиндрической ячейки, имеют вид [9]

$$v_z(r, z, t) = v(z) J_0(k_r r) \exp(-\lambda t), \quad (5)$$

$$T(r, z, t) = \vartheta(z) J_0(k_r r) \exp(-\lambda t), \quad (6)$$

где  $\lambda$  – собственные числа [1, 7];  $v(z)$  и  $\vartheta(z)$  – амплитуды возмущений вертикальной скорости и температуры соответственно;  $J_0(x)$  – функции Бесселя первого рода нулевого порядка от аргумента  $x$ ;  $k_r$  – радиальное волновое число.

В устойчивом состоянии ( $\lambda = 0$ ) подстановка решений (5), (6) в линеаризованную систему НСПБ приводит к характеристическому уравнению [7]

$$(q^2 - b)^3 = -a^3, \quad (7)$$

где  $a = (k_r^2 R)^{1/3}$ ,  $b = k_r^2$ .

Корни характеристического уравнения (7) определяются следующими выражениями:

$$\begin{aligned} q_{1,2} &= \pm\sqrt{b-a}, & q_{3,4} &= \sqrt{b+0,5a(1+i\sqrt{3})} = \pm(X_+ + iX_-), \\ q_{5,6} &= \sqrt{b+0,5a(1-i\sqrt{3})} = \pm(X_+ - iX_-), \end{aligned} \quad (8)$$

где  $X_{\pm} = \left[0,5\left(\sqrt{\chi^2 + 0,75a^2 \pm \chi}\right)\right]^{1/2}$ ,  $\chi = 0,5a + b$ ,  $i = \sqrt{-1}$  – мнимая единица.

Амплитуда вертикальной компоненты скорости (5) выражается в терминах характеристических корней (8) и описывает нейтральные возмущения. Будем искать амплитуду в виде

$$v(z) = \sum_{m=1}^6 C_m \exp(q_m z), \quad (9)$$

где  $C_m$  – произвольные константы, определяемые граничными условиями

$$v(0) = v(1) = 0, \quad \partial v(0)/\partial z = \partial v(1)/\partial z = 0, \quad \vartheta(0) = \vartheta(1) = 0. \quad (10)$$

Уравнение (9) определяет значения критических чисел Рэлея и амплитуду нейтральных возмущений. Их значения, как утверждается в [7], можно найти только в результате приближенного численного решения трансцендентных уравнений.

Опишем метод получения решений (9) с граничными условиями (10) в простом аналитическом виде [10].

Для этого в (9) зададим следующие соотношения между константами  $C_m$ :  $C_1 = C_2 = A_1/2$ ,  $C_3 = C_4 = C_5 = C_6 = -A_1/(4\text{ch}(z_0 X_+))$ , где  $A_1$  – произвольная константа;  $z_0 = 0,5$  – координата полуширины слоя. В этом случае (9) принимает вид

$$v(z) = A_1 \left[ \text{ch}(q_1(z - z_0)) - \cos(X_-(z - z_0)) \text{ch}(X_+(z - z_0)) \text{ch}^{-1}(z_0 X_+) \right].$$

Полагая  $q_1 = i\sqrt{a-b} = in\pi$  и требуя равенства  $X_- = \sqrt{a-b} = n\pi$ , определим амплитуду вертикальной скорости

$$v(z) = A_1 \left[ 1 - \text{ch}((z - z_0)X_+) \text{ch}^{-1}(z_0 X_+) \right] \sin(z\sqrt{a-b}). \quad (11)$$

Легко показать, что выражение (11) удовлетворяет граничным условиям (10).

Отметим, что равенство  $X_- = \sqrt{a-b}$  справедливо при  $a = 8(n\pi)^2$  и  $b = 7(n\pi)^2$ .

Так как решение (7) описывает стационарное состояние цилиндрической ячейки ( $\lambda = 0$ ), то параметры  $a$  и  $b$  или их масштабнo-сдвиговые аналоги (см. ниже), должны определить точку  $k_r$ , лежащую на нейтральной кривой  $R_n^{rigid}(k_r)$ .

Решение (11), а также полученные на его основе выражения для амплитуды возмущения температуры  $\vartheta(z)$  (см. (5)) может быть использовано для сравнения с параметрами тепло- и массообмена в конвективной ячейке со свободными граничными условиями [11].

### Построение нейтральных кривых для задачи с твердыми граничными условиями

Используем решение (11) для построения нейтральных кривых  $R_n^{rigid}(k_r)$  стационарных состояний цилиндрической ячейки с твердыми граничными условиями. В плоскости  $(R, k_r)$  для заданного  $n$  нейтральные кривые  $R_n^{rigid}(k_r)$  разделяют области устойчивых решений (ниже кривой) и области неустойчивых решений (выше кривой) [7].

Для того чтобы построить нейтральные кривые, используем решение (11), а также свойство инвариантности этого решения относительно масштабнo-сдвигового преобразования параметров  $a$  и  $b$ . Термин «инвариантность относительно масштабнo-сдвиговых преобразований» характеризует неизменность решения (11) и граничных условий (10), при добавлении к  $a$  и  $b$  некоторого постоянного числа (сдвиговая инвариантность) или умножении их на другое постоянное число (масштабная инвариантность).

Рассмотрим подробнее свойства инвариантности решений относительно сдвига или масштабирования параметров  $a$  и  $b$ .

**Сдвиговая инвариантность.** Сдвиг параметров  $a$  и  $b$  на произвольную величину  $x_0$

$$a - x_0 = 8(n\pi)_2, \quad b - x_0 = 7(n\pi)^2, \quad (12)$$

где  $-7(n\pi)^2 \leq x_0 < \infty$  – произвольное число, не меняет выражение  $\sqrt{a-b}$  в решении уравнения (7). Не изменяются значения  $X_{\pm}$  в соответствии с (12), а измененные параметры  $a - x_0$  и  $b - x_0$  сохраняют свои значения. Таким образом, применение сдвигового преобразования дает аналитическое выражение для числа Рэлея

$$R_n^{rigid} = \frac{a^3}{b} = \frac{(n^2\pi^2 + (\beta_n \cdot k_r)^{\mu_n})^3}{(\beta_n \cdot k_r)^{\mu_n}}, \quad (13)$$

где  $7(n\pi)^2 - x_0 = (\beta_n \cdot k_r)^{\mu_n}$ ;  $\beta_n$  и  $\mu_n$  – положительные натуральные числа, зависящие от номера моды  $n$ .

**Масштабная инвариантность.** Решение (11) характеризуется масштабной инвариантностью по отношению к  $a$  и  $b$ . Чтобы убедиться в этом, выполним в (11) следующие замены:  $(z, z_0) \rightarrow \alpha n^{-1} \cdot (z, z_0)$ . Такая замена может быть истолкована как изменение толщины слоя  $h \rightarrow \alpha n \cdot h$ , где  $\alpha n \neq 0$  – произвольное, зависящее от номера моды, положительное число,  $n \geq 1, 2, 3, \dots$ . Тогда для обеспечения масштабной инвариантности выражения (11) должны соблюдаться следующие условия изменения параметров:  $a \rightarrow \alpha n^2 \cdot a$  и  $b \rightarrow \alpha n^2 \cdot b$ .

В результате описанных выше масштабных-сдвиговых преобразований выражение (13) может быть записано в виде

$$R_n^{rigid} = \frac{(a\alpha_n^2)^3}{b\alpha_n^5} = \alpha_n \frac{(n^2\pi^2 + (\beta_n \cdot k_r)^{\mu_n})^3}{(\beta_n \cdot k_r)^{\mu_n}}. \quad (14)$$

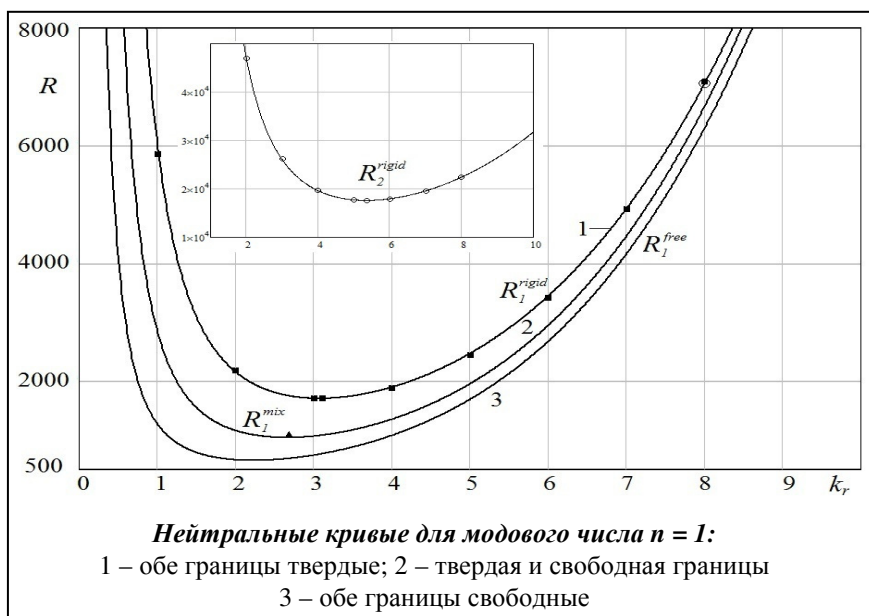
Сравнение нейтральных кривых (14) (кривая 1, рисунок) с численными данными, полученными другими авторами [7] (точки на кривой 1), показывает их хорошее количественное соответствие. Это позволяет с достаточной степенью точности определить величину констант в выражении (14) для  $n = 1$ :  $\alpha_1 = 2,597$ ,  $\alpha_2 = 1,674$ ,  $\beta_1 = 0,7$ ,  $\mu_1 = 2,085$ . При этом максимальное относительное отклонение числа Рэлея (14) от численных результатов [7] составляет величину порядка процента (находится в интервале от  $-1,35$  до  $0,67\%$ ).

Маркер в виде квадрата в кружке на кривой  $R_1^{rigid}$  (см. рисунок) соответствует точке  $k_r = \pi\sqrt{7}/1,038 = 8$ ,  $R_1^{rigid} = \alpha_1^{-3}(8\pi^2 - 5,087)^3 / (7\pi^2 - 5,087) = 7062,177$ , отвечающей параметрам  $a = 8\pi^2$  и  $b = 7\pi^2$ , которые получаются после масштабных-сдвиговых преобразований для параметров  $\alpha^1 = 0,963$ ,

$x_0 = 5,087$ . Этот факт с достаточной точностью указывает на расположение этой точки на нейтральной кривой 1.

Таким образом, выражение (14) для  $n = 1$  определяет функциональную зависимость нейтральной кривой от волнового числа  $k_r$ .

Для модовых чисел  $n > 1$ , используя минимальные критические числа Рэлея горизонтального слоя с твердыми границами [7], можно показать, что нейтральные кривые определяются выражением (14), в котором константы  $\alpha_n$  и  $\beta_n$  должны быть заданы в виде



$$\alpha_n = \alpha_2 \left(\frac{2}{n}\right)^{0.37} \quad (n \geq 2), \quad \beta_n = \frac{\beta_1 n^{\frac{2}{\mu_n}} \left(\frac{\pi}{\sqrt{2}}\right)^{\frac{2}{\mu_n} - \mu_1}}{1 + \beta_1 (n-1) \left(\frac{\pi}{\sqrt{2}}\right)^{\mu_1}}.$$

Определим показатель степени  $\mu_n$  в выражении для  $\beta_n$ .

Известно, что при больших значениях моды  $n$  различие в критических числах ячейки с твердыми границами и свободной ячейки уменьшается [7], т. е. показатель степени  $\mu_n$  с возрастанием номера моды  $n$  должен стремиться к показателю степени для свободной ячейки ( $\mu_n = 2$ ). На основании этого показатель степени  $\mu_n$  можно аппроксимировать выражением

$$\mu_n = \frac{49,06n}{24,53n - 1}. \quad (15)$$

При  $n = 1; 2$  выражение (15) дает  $\mu_1 = 2,085$  и  $\mu_2 = 2,04$ , что с достаточной степенью точности соответствует результатам численных расчетов [7].

При  $n \rightarrow \infty$ , как отмечено выше, степень  $\mu_n$  стремится сверху к двум. На рисунке видно хорошее соответствие результатов численных расчетов точек нейтральной кривой для  $n = 2$  и ее теоретической оценки (14)

$$R_2^{rigid} = \alpha_2 \frac{(2^2 \pi^2 + (\beta_2 \cdot k_r)^{\mu_2})^3}{(\beta_2 \cdot k_r)^{\mu_2}}, \quad \beta_2 = 0,814.$$

Таким образом, на основании точного решения стационарной задачи Рэлея с твердыми граничными условиями для модовых чисел  $n \geq 1$  построено семейство нейтральных кривых, которые с достаточно высокой степенью точности соответствуют результатам численных расчетов.

### Построение нейтральных кривых для задачи со смешанными граничными условиями

На основе аналитической зависимости (14) найдем вид нейтральной кривой для случая смешанных граничных условий, когда верхняя граница свободна, а нижняя является твердой. Можно показать, что вид этой кривой (кривая 2 на рисунке) задается выражением

$$R_1^{mix} = \alpha_2 \frac{(2^2 \pi^2 + (\beta_2 \cdot k_r)^{\mu_2})^3}{2^4 (\beta_2 \cdot k_r)^{\mu_2}}. \text{ Кривая 2 в минимуме } (R_1^{mix})_{\min} = 1045,60 \text{ достаточно точно (до 5\%)} \text{ со-}$$

ответствует критической точке, полученной численным методом  $R_m = 1100,657$  [7].

Для сравнения рассмотрим аналитические зависимости нейтральных кривых с твердыми граничными условиями и нейтральной кривой со свободными граничными условиями из классической задачи Рэлея (на рисунке – кривая 3, [7]). Из вида кривых следует, что аналитические зависимости (14), (16) (кривые 1 и 2 соответственно) для больших аргументов  $k_r$  не пересекаются и асимптотически стремятся к нейтральной кривой ячейки со свободными граничными условиями (кривая 3).

В заключение отметим, что полученные результаты применимы при решении стационарной задачи Рэлея с твердыми границами в декартовой системе координат. Для этого необходимо в (1) заменить  $k_r$  на  $k = \sqrt{k_x^2 + k_y^2}$ , а функцию  $J_0(k,r)$  – на  $\exp(ik_x x + ik_y y)$ .

### Выводы

Таким образом, в настоящей работе получены аналитические решения стационарной линейной задачи Рэлея с твердыми и смешанными граничными условиями. На основании полученных решений с учетом их сдвиговой и масштабной инвариантности построено семейство нейтральных кривых для слоя вязкой, несжимаемой, подогреваемой снизу жидкости с твердыми и смешанными граничными условиями.

## Литература

1. Chandrasekhar, S. Hydrodynamic and hydromagnetic stability / S. Chandrasekhar. – Oxford University Press, 1970. – 657 p.
2. Неклюдов, И. М. Описание ленгмюровских циркуляций упорядоченным набором конвективных кубических ячеек / И. М. Неклюдов, Б. В. Борц, В. И. Ткаченко // Прикл. гидромеханика. – Т. 14(86), № 2, 2012. – С. 29–40.
3. Шука, А. А. Нанозлектроника / А. А. Шука. – М.: Физматкнига, 2007. – 464 с.
4. Сажин, Б. С. Сушка и промывка текстильных материалов: теория, расчет процессов / Б. С. Сажин, В. А. Реутский. – М.: Легпромбытиздат, 1990. – 224 с.
5. Мюллер, Г. Выращивание кристаллов из расплава. Конвекция и неоднородности / Г. Мюллер; [пер. с англ. В. Бунэ]. – М.: Мир, 1991. – 143 с.
6. Рыкалин, Н. Н. Лазерная обработка материалов / Н. Н. Рыкалин, А. А. Углов, А. Н. Кокора. – М.: Машиностроение, 1975. – 296 с.
7. Гершуни, Г. З. Конвективная устойчивость несжимаемой жидкости / Г. З. Гершуни, Е. М. Жуховицкий. – М.: Наука, 1972. – 393 с.
8. Strutt, J. W. (Lord Rayleigh) / On convection currents in a horizontal layer of fluid when the higher temperature is on the under side // J. W. Strutt (Lord Rayleigh). – Phil. Mag. – 1916. – Vol. 32. – P. 529–546.
9. Experimental study of liquid movement in free elementary convective cells / L. Bozbiei, B. Borts, Y. Kazarinov, A. Kostikov, V. Tkachenko // Energetika. – 2015. – Vol. 61, № 2. – P. 45–56.
10. Patochkina, O. L. Elementary convection cell in the horizontal layer of viscous incompressible liquid with rigid and mixed boundary conditions / O. L. Patochkina, B. V. Borts, V. I. Tkachenko // East-European J. Phys. – 2015. – Vol. 2, № 1. – P. 23–31.
11. Bozbej, L. S. Elementary convective cell in the layer of incompressible, viscous liquid and its physical properties / L. S. Bozbej, A. O. Kostikov, V. I. Tkachenko // Mode conversion, coherent structures and turbulence: Intern. conf. MSS-14. – Space Research Institute, Moscow, 2014. – P. 322–328.

Поступила в редакцию 09.02.17

**О. С. Цаканян,**  
канд. техн. наук  
**В. Н. Голощапов,**  
канд. техн. наук  
**С. В. Кошель,**  
канд. техн. наук  
**Н. Г. Ганжа**

Институт проблем  
машиностроения  
им. А. Н. Подгорного  
НАН Украины, г. Харьков,  
e-mail: tsakoleg@rambler.ru

**Ключові слова:** теплові втрати, вимірювання, еталон, трубопровод.

УДК 53.084;536.628.1

## ОПРЕДЕЛЕНИЕ ТЕПЛОВЫХ ПОТЕРЬ УЧАСТКОВ МАГИСТРАЛЬНЫХ ТЕПЛОПРОВОДОВ МЕТОДОМ ЭТАЛОНА

*Розроблено методику вимірювань і конструкцію вимірювального приладу для визначення рівня теплових втрат на будь-якій ділянці трубопроводів незалежно від типу теплової ізоляції. Прилад являє собою встановлений на трубу корпус з екранами на внутрішніх поверхнях і отворами знизу та зверху для датчиків вимірювання температури й потоку повітря, якими визначаються теплові втрати в навколишнє середовище. Попередньо прилад градується в лабораторних умовах із застосуванням еталона теплової потужності, в якому вона рівномірно розподілена поверхнею ділянки, що містить трубопровід. Еталон являє собою модель ділянки трубопроводу, що містить нагрівач та інтегральний датчик температури. Змінюючи діаметр отвору в торцевих кришках приладу, його можна застосовувати для вимірювання теплових втрат трубопроводів різного діаметра.*

### Введение

На сегодняшний день десятки тысяч километров теплопроводов эксплуатируются с изношенной или пришедшей в негодность теплоизоляцией. До 20% тепловой энергии теряется в окружающую среду. Качественная теплоизоляция позволяет минимизировать тепловые потери, которые рас-